DOI: https://doi.org/10.31272/jae.i146.1317

Available online at: https://admics.uomustansiriyah.edu.ig/index.php/admeco



مجلة الإدارة والاقتصاد Journal of Administration & Economics

Mustansiriyah University

College of Administration & Economics

P-ISSN: 1813 - 6729 E-ISSN: 2707-1359

استعمال مصفوفة المسافة لمانهاتن في تقدير انموذج انحدار ثنائي الحد السالب المكاني

بسمة محمد لفته مريوش

قسم الاحصاء، كلية الادارة والاقتصاد, جامعة المستنصرية، بغداد، العراق

Email: basmah.mohammed@uomustansiriyah.edu.iq, ORCID ID:\ https://orcid.org/

اسيل عبد الرزاق رشيد

قسم الاحصاء، كلية الادارة والاقتصاد, جامعة المستنصرية، بغداد، العراق

Email: aseelstat@uomustansiriyah.edu.iq, ORCID ID:\ https://orcid.org/0000-0002-2702-1843

معلومات البحث

واريخ البحث

تاريخ تقديم البحث: 9 / 10 / 2023 تاريخ قبول البحث: 7 / 11 /2024 عدد صفحات البحث 33 - 40

المستخلص

تم تطبيق انموذج انحدار ثنائي الحد السالب المكاني في تحليل عدد الحوادث المرورية التي حدثت في المحافظات العراقية وفق اختلاف انواع الطرق وفي ظل تغيرات حالة الجو لعام 2022, حيث تم استعمال طريقة الامكان الاعظم لتقدير الانموذج وبالاعتماد على مصفوفة الاوزان المعتمدة على المسافة لمانهاتن, وقد تم التوصل الى وجود علاقة طردية بين عدد الحوادث المرورية وحالة الطقس من درجات حرارة وكمية الامطار الساقطة وكمية الاتربة في الجو.

الكلمات المفتاحية:

انحدار ثنائي الحد السالب، دالة الامكان الاعظم، معامل موران، مصفوفة المسافة لمانهاتن

المراسلة:

أسم الباحث: أسيل عبد الرزاق رشيد

Email:

aseelstat@uomustansiriyah.edu.iq

1. المقدمة

لقد وجدت النماذج المكانية تطبيقا واسعا في الاقتصاد القياسي خلال الثلاثين الى الاربعين عاما الماضية فيما يتعلق بتحليل بيانات العد فأن التطبيق الاكثر استخداما هو نمذجة عدم التجانس المكاني، وقد نشر بايلنك وكلاسن (1979) مجلدا صغيرا تحت عنوان الاقتصاد القياسي المكاني ومنهجيته، وقد ظهرت عدد من المجلات والمقالات في نفس العام عن التحليل المكانى والسلاسل الزمنية المكانية: [4.8]

هنالك بعض الظواهر الطبيعية المعقدة وغير المتجانسة، مثل الطب والهندسة والتمويل وما الى ذلك، والتي لايمكن تمثيلها بتوزيع واحد ولكن يجب دمج توزيعين كتوزيع بواسون وتوزيع كاما للحصول على توزيع مرن كتوزيع ثنائي الحد السالب، وهو احد التوزيعات المنقطعة المهمة فهو اساس النماذج الاحصائية لبيانات العد count data، ويعد هذا التوزيع مناسب للبيانات ذات الخصائص المفرطة التشتت overdispersion.

2. هدف البحث:

يهدف البحث الى تقدير انموذج انحدار ثنائي الحد السالب المكاني باستعمال طريقة الامكان الاعظم, وبالأعتماد على مصفوفة الاوزان المكانية (المسافة لمانهاتن) للحصول على انموذج كفوء لتقدير عدد الحوادث المرورية في المحافظات العراقية.

3. انموذج انحدار ثنائي الحد السالب المكاني

يتم دراسة انموذج الأنحدار المكاني لتوضيح مدى تأثير المتغيرات المستقلة على المتغير التابع مع وجود تأثيرات مكانية للمواقع المتجاورة، حيث وضع باحثوا القياس عدد من النماذج المكانية التي تهتم بعمليات التحليل المكاني وتطبيقها على العديد من الاستعمالات، والتعامل مع الاعتمادية المكانية.[12]

$$(y_i|\mu,\alpha)\sim NB(\mu^{SAR},\alpha)$$
 (1)

$$\log \mu^{SAR} = \lambda \, w \log \mu^{SAR} + x\beta \tag{2}$$

$$\log \mu^{SAR} = (I - \lambda w)^{-1} x\beta \tag{3}$$

$$\mu^{SAR} = \exp((I - \lambda w)^{-1} x \beta) \tag{4}$$

عليه فأن : μ^{SAR} الوسط الحسابي للy بوجود مصفوفة التجاور المكاني، w هي مصفوفة التجاور المكانية ذات البعد $(n \times n)$ ، λ هي معلمة الارتباط المكانية، x هي مصفوفة المتغيرات، λ هي معلمة الارتباط المكانية،

4. مصفوفة التجاور الثنائية: (Binary Contiguity Matrix)

يسمح توفير البيانات ببناء مصفوفة الوزن المكاني بناءً على القرب الذينون المتانية المحانية وستتم الاشارة بالرمز \mathbf{W} لمصفوفة الوزن المكاني ذات البعد $\mathbf{n} \times \mathbf{n}$ ، وهي مصفوفة موجبة مربعة متماثلة وغير عشوائية وكل عنصر في داخل المصفوفة يرمز له بالرمز \mathbf{W}_{ij} في الموقع \mathbf{i} , ويتم تحديد قيمة لكل زوج في المواقع المجاورة او غير المجاورة بواسطة بعض القواعد المحددة مسبقاً التي تحدد العلاقة المكانية بين الموقع والصيغة العامة لمصفوفة الاوزان المكانية على النحو الاتي:[2,7,9,14]

$$W = \begin{bmatrix} W_{11} & \cdots & W_{1n} \\ \vdots & \ddots & \vdots \\ W_{n1} & \cdots & W_{nn} \end{bmatrix}$$
 (5)

$$W_{ij} = \begin{cases} 1 & \text{if } & \text{i neighbour j} \\ 0 & \text{o. w} \end{cases}$$
 (6)

0. W ومن خلال الصيغة (6) يتم تحديد قيم كل عنصر لمصفوفة الاوزان المكانية، حيث اذا كانت المواقع i, j متجاورتان فان قيمة i, j واذا كانت غير متجاورتان فان قيمة i, i, وتكون عناصر القطر الرئيسي لمصفوفة الاوزان تساوي الصفر لان المناطق لا تجاور نفسها. i, i

1.4. مصفوفة الأوزان المعتمدة على المسافة

يتم التعبير عن الاوزان المتعلقة بالمسافة كدالة للمسافة بين الخليتين i , i , i ، حيث يتم التعبير عن هذه المسافة بالرمز d_{ij} ، محسوبة على انها المسافة بين المراكز المتوسطة، هنا نفترض ان x_i و x_i يمثلان خط العرض ، y_i يمثلان خط العرض ، وهنالك العديد من مقاييس المسافة وهي كالأتي:[6,9,10]

1.1.4. قياس مسافة مينكوفسكي Minkowsk Distance Metric

نستعمل في هذا المقياس النقطتين j و j ،مع احداثيات الموقع (x,y) لمناطق المراد دراستها والصيغة العامة لهذا المقياس هي:

$$d_{ij} = (|x_i - x_j|^p + |y_i - y_j|^p)^{1/p}$$
(7)

حيث ان: P يمثل درجة متعدد الحدود.

2.1.4. قياس مسافة منهاتن Manhattan Distance Metric

تحسب من خلال قياس مسافة مينكوفسكي وباعتبار المجموعة P=1 وتكون الصيغة كالاتي:

$$d_{ij} = |x_i - x_j| + |y_i - y_j|$$
 (8)

5. اختبار معامل موران Moran Coefficient Test

هو اداة لقياس الاعتماد المكاني في البيانات المدروسة ويرمز له بالرمز I ويكون مناظراً لاختبار ديربن واتسون Durbin) (Watson) في بيانات السلاسل الزمنية، وتتراوح قيمته بين I+1 حيث انه كلما اقتربت قيمة معامل موران من I+1 يكون نمط الانتشار للبيانات متباعد في حين اذا اقتربت القيمة من I+1 القيمة من I+1 مي يكون الانتشار عشوائي للبيانات، وصيغة معامل موران هي:I=1

$$I = \frac{n}{S_0} \frac{\sum_{i=1}^{n} \sum_{j=1}^{n} w_{ij} (y_i - \bar{y}) (y_j - \bar{y})}{\sum_{i=1}^{n} (y_i - \bar{y})^2}$$
(9)

j=1,2,...,n و i=1,2,...,n

$$S_0 = \sum_{i=1}^n \sum_{j=1}^n W_{ij} \tag{10}$$

m n imes n حيث ان: $m S_0$ مجموع العناصر في المصفوفة m m ، m W حجم العينة، m W مصفوفة اوزان التجاورات ذو الابعاد ان التوزيع التقاربي الخاص بأحصاءة موران تم التوصل اليه من قبل الباحثان Cliff و Ord عام(1972) ويتوافق مع التوزيع الطبيعي القياسي والصيغة الخاصة لاختبار موران (Z) هي كالاتي[14]:

$$Z = \frac{I - E(I)}{\sqrt{V(I)}} \tag{11}$$

ويمكن ايجاد توقع وتباين وتفرطح احصاءة موران كما يأتي:

$$E(I) = \frac{1}{(n-1)'}$$
 (12)

$$V(I) = \frac{\begin{cases} n[(n^2 - 3n + 3)S_1 - nS_2 + 3S_0^2] \\ -K[n(n-1)S_1 - 2nS_2 + 6S_0^2] \end{cases}}{(n-1)(n-2)(n-3)S_0^2} - E(I)^2$$
(13)

حيث ان:

$$S_1 = \frac{1}{2} \sum_{i=1}^{n} \sum_{j=1}^{n} (w_{ij} + w_{ij})^2$$
 (14)

$$S_2 = \sum_{i=1}^n \left(\sum_{j=1}^n w_{ij} + \sum_{j=1}^n w_{ij} \right)^2$$
 (15)

$$K = \frac{\frac{1}{n} \sum_{i=1}^{n} (y_i - \bar{y})^4}{\left[\frac{1}{n} \sum_{i=1}^{n} (y_i - \bar{y})^2\right]^2}$$
(16)

حيث ان:

K هو التفرطح لاحصاءة موران.

ولاختبار وجود الاعتماد المكانى من عدم وجوده نستخدم الفرضية الاتية:

لايوجد اعتماد مكاني $H_0: \lambda = 0$ يوجد اعتماد مكاني $H_1: \lambda \neq 0$

ومن خلال الصيغة (2) اذا كانت قيمة Z المحسوبة اكبر من القيمة الجدولية لـZ وبمستوى دلالة معين، نرفض فرضية العدم ونقبل الفرضية البديلة يعني يوجد اعتماد مكاني واذا كانت قيمة Z المحسوبة اصغر من قيمة Z الجدولية فنقبل فرضية العدم ونرفضً البديلة وهذا يدل على انه لا يوجد اعتماد مكانى بين مفردات الظاهرة المدروسة.

6. طريقة الامكان الاعظم لتقدير انموذج انحدار ثنائي الحد السالب المكاني

The Maximum Likelihood Method to Estimate the Spatial Negative Binomial **Regression Model**

تعتبر مقدرات الامكان الاعظم ثابتة وذات كفاءة عالية وتتسم بخاصية الاتساق، اي ان عملية التقدير تتم عن طريق جعل مقدرات دالة الامكان الاعظم للمتغيرات العشوائية اكبر ما يمكن.[11,13]

$$f(y_i | \mu_{i,\alpha}) = \frac{\Gamma(y_i + \alpha^{-1})}{\Gamma(y_i + 1)\Gamma(\alpha^{-1})} \left(\frac{\alpha^{-1}}{\mu_i^{SAR} + \alpha^{-1}}\right)^{\alpha^{-1}} \left(\frac{\mu_i^{SAR}}{\mu_i^{SAR} + \alpha^{-1}}\right)^{y_i}$$
(17)

$$\alpha \geq 0, i = 1, 2, ..., n$$

$$\alpha \geq 0, i = 1, 2, ..., n$$

$$\text{وان دالة الامكان الاعظم لهذا الأنموذج هي كلأتي:
$$L(\alpha, \beta) = \prod_{i=1}^{n} \left[\frac{\Gamma(y_i + \alpha^{-1})}{\Gamma(y_i + 1)\Gamma(\alpha^{-1})} \left(\frac{\alpha^{-1}}{\mu_i^{SAR} + \alpha^{-1}} \right)^{\alpha^{-1}} \left(\frac{\mu_i^{SAR}}{\mu_i^{SAR} + \alpha^{-1}} \right)^{y_i} \right]$$

$$(18)$$$$

وبأخذ اللوغارتم الطبيعي للمعادلة (18) ينتج لدينا المعادلة الأتية:

$$\ln L(\alpha, \beta) = \sum_{i=1}^{n} \left\{ \left(\sum_{j=0}^{y-1} \ln(j + \alpha^{-1}) \right) - \ln(y_i!) - (y_i + \alpha^{-1}) \ln(1 + \alpha \mu_i^{SAR}) + y_i \ln \alpha + y_i \ln \mu_i^{SAR} \right\}$$

$$= \frac{1}{n} \left\{ \left(\sum_{j=0}^{y-1} \ln(j + \alpha^{-1}) \ln(j + \alpha^{-1}) \right) + \frac{1}{n} \left(\sum_{j=0}^{y-1} \ln(j + \alpha^{-1}) \ln(j + \alpha^{-1}) \right) + \frac{1}{n} \left(\sum_{j=0}^{y-1} \ln(j + \alpha^{-1}) \ln(j + \alpha^{-1}) \right) \right\}$$

$$= \frac{1}{n} \left\{ \left(\sum_{j=0}^{y-1} \ln(j + \alpha^{-1}) \ln(j + \alpha^{-1}) \right) + \frac{1}{n} \ln(j + \alpha^{-1}) \right\}$$

$$= \frac{1}{n} \left\{ \left(\sum_{j=0}^{y-1} \ln(j + \alpha^{-1}) \ln(j + \alpha^{-1}) \right) + \frac{1}{n} \ln(j + \alpha^{-1}) \right\}$$

$$= \frac{1}{n} \left\{ \left(\sum_{j=0}^{y-1} \ln(j + \alpha^{-1}) \ln(j + \alpha^{-1}) \right) + \frac{1}{n} \ln(j + \alpha^{-1}) \ln(j + \alpha^{-1}) \right\}$$

$$= \frac{1}{n} \left\{ \left(\sum_{j=0}^{y-1} \ln(j + \alpha^{-1}) \ln(j + \alpha^{-1}) \ln(j + \alpha^{-1}) \ln(j + \alpha^{-1}) \right\} \right\}$$

$$= \frac{1}{n} \left\{ \left(\sum_{j=0}^{y-1} \ln(j + \alpha^{-1}) \ln(j +$$

$$\ln\left(\frac{\Gamma(y_i + \alpha^{-1})}{\Gamma(\alpha^{-1})}\right) = \sum_{j=0}^{y-1} \ln(j + \alpha^{-1})$$
(20)

$$\Gamma(\mathbf{y}_{\mathbf{i}} + 1) = \mathbf{y}_{\mathbf{i}} \,! \tag{21}$$

وبما ان:

$$\mu_i^{SAR} = \exp[(I - \lambda w)^{-1} x \beta]$$
(22)

حيث ان:w هي مصفوفة التجاور المكانية ذات البعد $(n \times n)$ ، λ هي معلمة الارتباط المكانية، χ هي مصفوفة المتغيرات، χ هي متحه المعلمات.

. وبافتر اض $A^{-1} = (I - \lambda w)^{-1}$ تصبح المعادلة كالاتى:

$$\mu_i^{SAR} = \exp(A^{-1}x\beta) \tag{23}$$

وللحصول على مقدرات الامكان الاعظم لأنموذج انحدار ثنائي الحد السالب المكاني، يمكن اعتماد طرائق التقدير العددية كطريقة نيوتن – رافسن، وعليه يجب ايجاد المشتقة الاولى والثانية لمعلمات الانموذج.

وبتعويض μ_i^{SAR} في المعادلة (19) والاشتقاق بالنسبة الى (λ) تنتج المعادلة الأتية:

$$\frac{\partial \operatorname{Ln} L}{\partial \lambda} = \sum_{i=1}^{n} \left\{ -(y_i + \alpha^{-1}) \frac{\beta x w \exp((I - \lambda w)^{-1} x \beta)}{\alpha (I - \lambda w)^2 \left(\frac{\exp((I - \lambda w)^{-1} x \beta)}{\alpha} + 1 \right)} + \frac{\beta x w y}{(I - \lambda w)^2} \right\} = 0 \tag{24}$$

$$\frac{\partial \operatorname{Ln} L}{\partial \beta} = \sum_{i=1}^{n} x_i \frac{(y_i - \mu_i^{SAR})}{1 + \alpha \mu_i^{SAR}} = 0$$
 (25)

$$\frac{\partial \operatorname{Ln} L}{\partial \alpha} = \sum_{i=1}^{n} \left[\frac{1}{\alpha^{2}} \left(\operatorname{Ln} \left(1 + \alpha \, \mu_{i}^{SAR} \right) + \frac{\alpha (y_{i} - \mu_{i}^{SAR})}{1 + \alpha \, \mu_{i}^{SAR}} \right) + \psi \left(y_{i} + \frac{1}{\alpha} \right) - \psi \left(\frac{1}{\alpha} \right) \right] = 0 \tag{26}$$

$$(\beta, \alpha) \qquad (\beta, \alpha$$

$$\frac{-\partial^2 \operatorname{Ln} L}{\partial \beta \partial \dot{\beta}} = \sum_{i=1}^{n} \frac{\mu_i^{SAR} (1 + \alpha y_i)}{\left(1 + \alpha \mu_i^{SAR}\right)^2} X_i \dot{X}_i$$
(27)

$$\frac{\partial^2 \operatorname{Ln} L}{\partial \beta \, \partial \alpha} = E \left[-\sum_{i=1}^n \frac{\mu_i^{SAR} (y_i - \mu_i^{SAR}) X_{ij}}{\left(1 + \alpha \mu_i^{SAR} \right)^2} \right] \tag{28}$$

$$\frac{\partial^{2} \operatorname{Ln} L}{\partial \alpha^{2}} = \sum_{i=1}^{n} \left[-\frac{1}{\alpha^{3}} \left(\frac{\alpha \left(1 + 2\alpha \mu_{i}^{SAR} \right) \left(y_{i} - \mu_{i}^{SAR} \right) - \alpha \mu_{i}^{SAR} \left(1 + \alpha \mu_{i}^{SAR} \right)}{\left(1 + \mu_{i}^{SAR} \right)^{2}} \right) + 2\operatorname{Ln} \left(1 + \alpha \mu_{i}^{SAR} \right) + \psi \left(y_{i} + \frac{1}{\alpha} \right) - \psi \left(\frac{1}{\alpha} \right) \right]$$
(29)

حيث ان ψ هي مشتقة دالة كاما اللو غارتمية

7. الجانب التطبيقي:

تم الحصول على بيانات الطقس من الهيئة العامة للانواء الجوية اما بيانات عدد حوادث المرور من وزارة التخطيط / الجهاز المركزي للاحصاء ، حيث يمثل المتغير المعتمد عدد حوادث المرور التي حدثت في 14 محافظة من المحافظات العراقية خلال عام 2022 ، اما المتغيرات التفسيرية فتمثل حالة الطقس و المتمثلة ب (درجة الحرارة والأمطار والغبار) و الجدول الأتي يوضح بيانات البحث

جدول (1): عدد الحوادث المرورية وبعض العوامل المؤثرة

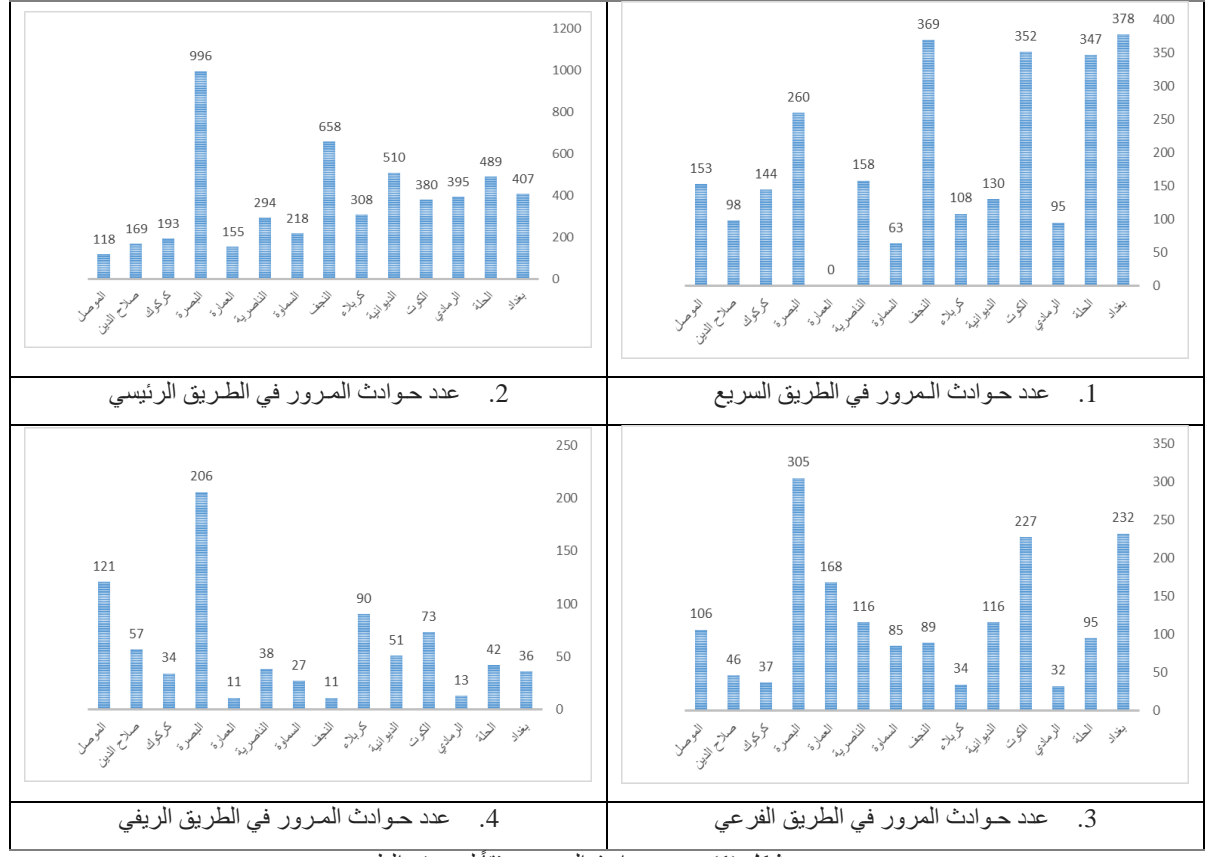
	1			مص المواهل ا	., .,,,,		.(1) 63	•			
الغبار	الامطار	درجات	عدد الحوادث	صنف	المحافظة	الغبار	الامطار	درجات	275	صنف	المحافظة
3 X	2 X	الحرارة X1	y	الطريق		3 X	2 X	الحرارة X 1	الحوادث y	الطريق	
6.81	3.89	26.55	63	سريع		20.58	8.93	24.47	378	سريع	بغداد -
6.81	3.89	26.55	218	رئيسي	السماوة	20.58	8.93	24.47	407	رئيسي	
6.81	3.89	26.55	85	فر عي	الشماوة	20.58	8.93	24.47	232	فرعي	
6.81	3.89	26.55	27	ريفي		20.58	8.93	24.47	36	ريفي	
12	6.64	27.56	158	سريع		9.41	5.26	26.11	347	سريع	الحلة
12	6.64	27.56	294	رئيسي	الناصرية	9.41	5.26	26.11	489	رئيسي	
12	6.64	27.56	116	فر عي	الفاصرية	9.41	5.26	26.11	95	فر عي	
12	6.64	27.56	38	ريفي		9.41	5.25	26.11	42	ريفي	
11	8.69	27.24	0	سريع		4.91	1.45	24.35	95	سريع	
11	8.69	27.24	155	رئيسي	العمارة	4.91	1.45	24.35	395	رئيسي	الرمادي
11	8.69	27.24	168	فر عي	العمارة	4.91	1.45	24.35	32	فر عي	الرمادي -
11	8.69	27.24	11	ريفي		4.91	1.45	24.35	13	ريفي	
5	10.46	27.98	260	سريع		13.08	9.67	25.74	352	سريع	
5	10.46	27.98	996	رئيسي	البصر ة	13.08	9.67	25.74	380	رئيسي	الكو ت
5	10.46	27.98	305	فر عي	البنشارة	13.08	9.67	25.74	227	فرعي	العوت
5	10.46	27.98	206	ريفي		13.08	9.67	25.74	73	ريفي	
5	16.6	24.31	144	سريع		0.33	4.84	26.24	130	سريع	
5	16.6	24.31	193	رئيسي	كركوك -	0.33	4.84	26.24	510	رئيسي	الديوانية
5	16.6	24.31	37	فر عي		0.33	4.84	26.24	116	فرعي	الديوانيا
5	16.6	24.31	34	ريفي		0.33	4.84	26.24	51	ريفي	
5	16.6	24.31	98	سريع		6.83	2.99	24.44	108	سريع	
5	16.6	24.31	169	رئيسي	صلاح الدين	6.83	2.99	24.44	308	رئيسي	كربلاء
5	16.6	24.31	46	فر عي		6.83	2.99	24.44	34	فرعي	ا دربارء
5	16.6	24.31	57	ريفي		6.83	2.99	24.44	90	ريفي	
13	16.73	22.1	153	سريع		8	3.6	26.48	369	سريع	
13	16.73	22.1	118	رئيسي	موصل	8	3.6	26.48	658	رئيسي	النجف
13	16.73	22.1	106	فر عي		8	3.6	26.48	89	فرعي	اسجت
13	16.73	22.1	121	ريفي		8	3.6	26.48	11	ريفي	

ويمكن تلخيص عدد الحوادث في كل محافظة طبقاً لنوع الطريق وكما في الجدول الآتي: جدول الأتي: جدول (2): عدد الحوادث المرورية على وفق المحافظة وصنف الطريق

ب (2) . سـ ، سرري سي رس ، سريي							
المجموع	ريفي	فر عي	رئيسي	سريع	صنف الطريق المحافظة		
1053	36	232	407	378	بغداد		
973	42	95	489	347	الحلة		
535	13	32	395	95	الرمادي		
1032	73	227	380	352	الكوت		
807	51	116	510	130	الديوانية		
540	90	34	308	108	كربلاء		
1127	11	89	658	369	النجف		
393	27	85	218	63	السماوة		
606	38	116	294	158	الناصرية		
334	11	168	155	0	العمارة		
1767	206	305	996	260	البصرة		
408	34	37	193	144	كركوك		
370	57	46	169	98	كركوك صلاح الدين الموصل		
498	121	106	118	153	الموصل		
10443	810	1688	5290	2655	المجموع		

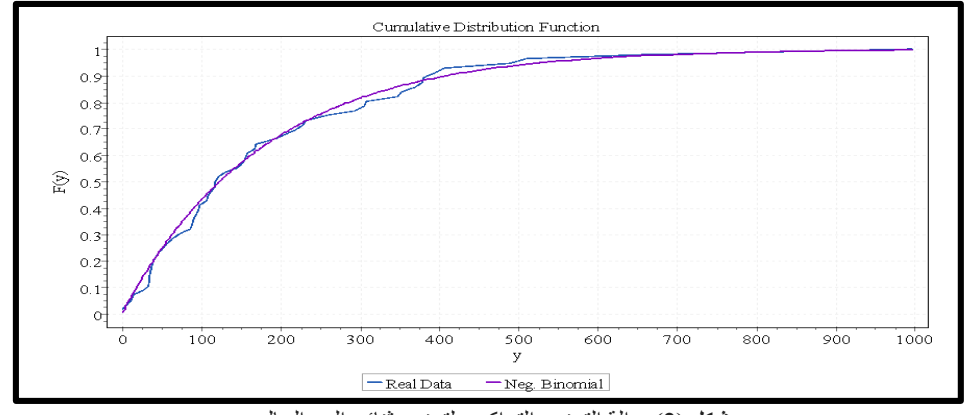
حيث نلاحظ أن أعلى محافظة بعدد الحوادث المرورية في الطريق السريع هي محافظة بغداد تليها الكوت، وأدنى محافظة هي ميسان (العمارة) حيث لم تسجل أية حوادث تذكر. كما نلاحظ أن أعلى محافظة بعدد الحوادث في الطريق الرئيس هي البصرة وأدنى محافظة هي نينوى (الموصل). وبالنسبة لعدد الحوادث في الطريق الفرعي فكانت في الصدارة محافظة البصرة أيضاً ومحافظة

الأنبار (الرمادي) سجلت أدنى عدد. وقد كانت محافظة البصرة المرتبة الاولى من حيث عدد حوادث المرور في الطريق الريفي وكل من ميسان (العمارة) والنجف أتت في ذيل القائمة. ويمكن توضيح ذلك من خلال الشكل الآتي:



شكل (1): عدد حوادث المرور وفقاً لصنف الطريق

يوضح الشكل (1) تفسير لجدول (2) لتنبذب قيم حوادث المرور تبعاً لصنف الطريق ، والشكل الآتي يمثل شكل دالة التوزيع التراكمي لتوزيع ثنائي الحد السالب مقارنة مع التوزيع التراكمي للبيانات:



شكل (2): دالة التوزيع التراكمي لتوزيع ثنائي الحد السالب

1.7. اختبار موران للاعتماد المكاني

تم الحصول على نتائج اختبار موران للاعتماد المكاني لمصفوفة منهاتن، وكانت النتائج كما يأتي:

جدول (3): نتائج اختبار موران

Moran I	Expected	Variance	Z-Statistic	P-Value
0.04071	-0.01818	0.00014	4.97901	< 0.0001

تشير النتائج أن هناك اعتماد مكاني وذلك بالاستناد إلى قيمة P-Value، حيث أنها أقل من مستوى المعنوية 0.05.

2.7. تقدير الأنموذج

تم استعمال طريقة الإمكان الأعظم في تقدير معلمات أنموذج الانحدار ثنائي الحدين المكاني بالاعتماد على مصفوفة الأوزان منهاتن لكونها أعطت نتائج مرضية جداً وكما يأتي:

جدول (4): تقديرات المعلمات

3, (-) -3 ,								
Parameters	β_0	β_1	β_2	β_3	α	Λ		
Estimates	-1.30267	0.14279	0.07049	0.05399	1.82126	0.01348		

8. الاستنتاجات

- 1- بالاعتماد على نتائج معامل موران، تم التوصل الى ان بيانات العد المتمثلة بعدد الحوادث المرورية في المحافظات العراقية تعاني من الاعتمادية المكانية.
- 2- نلاحظ ارتباط عدد الحوادث المرورية بعلاقة معنوية طردية مع المتغيرات التوضيحية، المعدل العام لدرجات الحرارة، ومعدل الامطار الساقطة، وكمية الغبار المتساقط.

9. التوصيات

- 1- دراسة عوامل اخرى تؤدي الى وقوع الحوادث المرورية ، مثل عدم الالتزام بقواعد السير، او التعب والارهاق الذي يتعرض له السائق، وغيرها من العوامل الاخرى.
 - 2- اقامة ندوات وورش لتوعية السائقين بالالتزام بالقواعد المرورية لتجنب وقوع الحوادث.

المصادر:

- Estimation the spatial Durban regression model for anemia patients .(2021). احمد عبد علي عكار. [12] sample in some region of Al-Karkh/Baghdad. Journal of Administration and Economics, (128), 275-293
- [2] أ. م. د. وضاح صبري ابراهيم, م. د وفاء جعفر حسين & م. د. جنان عبد الله عنبر. (2022). مصفوفات التجاور المكاني وانواعها المختلفة.310-310, 310, (132).
- [3] سعد، سارة اسامة، (2022) " مقارنة بين طريقتي الامكان الاعظم والبيزية في تقدير انموذج الانحدار الذاتي المكاني مع تطبيق عملي" رسالة ماجستير، كلية الادارة والاقتصاد، الجامعة المستنصرية.
- [4] طعمه، عدنان فاضل، (2021) "اختيار افضل تقدير انموذج انحدار لتوزيع ذي الحدين السالب مع تطبيق عملي" رسالة ماجستير، كلية الادارة والاقتصاد، جامعة كربلاء.
- [5] نورس شنشول موسى & أ. م. د. وضاح صبري ابراهيم. (2022). تقدير معالم أنموذج الانحدار المكاني العام (SAC) بطريقة الامكان الاعظم (MLE) لمصفوفة التجاورات Queen باستعمال المحاكاة Uueen الامكان الاعظم (MLE) (ALE) Education, 28(114), 344-353.
- [6] Apparicio, P., Abdelmajid, M., Riva, M., & Shearmur, R. (2008). Comparing alternative approaches to measuring the geographical accessibility of urban health services: Distance types and aggregation-error issues. International journal of health geographics, 7, 1-14.
- [7] Anselin, L., & Bera, A. K. (1998). Spatial dependence in linear regression models with an introduction to spatial econometrics. Statistics textbooks and monographs, 155, 237-290
- [8] Anselin, L. (2010). Thirty years of spatial econometrics. Papers in regional science, 89(1), 3-26.
- [9] Anselin, L. (2022). Spatial econometrics. Handbook of spatial analysis in the social sciences, 101-122
- [10] BjØrnstad, O. N., & Falck, W. (2001). Nonparametric spatial covariance functions: estimation and testing. Environmental and Ecological Statistics, 8, 53-70
- [11] Buddhavarapu, P., Bansal, P., & Prozzi, J. A. (2021). A new spatial count data model with time-varying parameters. Transportation Research Part B: Methodological, 150, 566-586.
- [12] Glaser, S. (2017). A review of spatial econometric models for count data (Hohenheim Discussion Papers in Business, Economics and Social Sciences No. 19-2017.
- [13] Hilbe, J. M. (2011). Negative binomial regression. Cambridge University Press.
- [14] Ibrahim, W. S., Majeedb, G. H., & Hussain, W. J. (2021). Comparison and estimation of a Spatial Autoregressive (SAR) model for cancer in Baghdad Regions. Int. J. Agricult. Stat. Sci. Vol, 17(1), 1921-1927.
- [15] Ibrahim, W. S., & Mousa, N. S. (2022). Estimation of the general spatial regression model (SAC) by the maximum likelihood method. International Journal of Nonlinear Analysis and Applications, 13(1), 2947-2957.

DOI: https://doi.org/10.31272/jae.i146.1317

Available online at: https://admics.uomustansiriyah.edu.iq/index.php/admeco



Journal of Administration & Economics

Mustansiriyah \text{ University}

College of
Administration &
Economics

P-ISSN: 1813 - 6729 E- ISSN: 2707-1359

Using the Manhattan Distance Matrix to Estimate a Spatial Negative Binomial Regression Model

Basma Muhammad Lafta Mariyoush

Dep. of Statistics, College Administration and Economics, Mustansiriyah University, Baghdad. Iraq Email: basmah.mohammed@uomustansiriyah.edu.iq, ORCID ID:\https://orcid.org/

Aseel Abdul Razzak Rasheed

Dep. of Statistics, College Administration and Economics, Mustansiriyah University, Baghdad. Iraq Email: aseelstat@uomustansiriyah.edu.iq, ORCID ID:\ https://orcid.org/0000-0002-2702-1843

Article Information

Article History:

Received: 9 / 10 / 2024 Accepted: 7 / 11 / 2024

Available Online: 1 / 12 / 2024

Page no: 33 – 40

Keywords:

Negative binomial regression model, Maximum possibility function, Moran's coefficient, Manhattan distance matrix.

Correspondence:

Researcher name:

Aseel Abdul Razzak Rasheed

Email:

aseelstat@uomustansiriyah.edu.iq

Abstract

A spatial negative binomial regression model was applied to analyse the number of traffic accidents in the Iraqi governorates according to the different types of roads. In light of changes in the weather conditions for the year 2022, the maximum likelihood method was used to estimate the model and the weight matrix based on the distance to Manhattan, and it was reached. There is a direct relationship between the number of traffic accidents and the weather conditions, including temperatures, the amount of rain falling, and the amount of dust in the air.